



تحلیل غیر خطی ناپایداری نوسانات موج چگالی در فرایند جوشش درون یک کanal با استفاده از یک مدل تحلیلی جدید

محمد رضا شاه نظری^{*}، اشکان امجدی گلپایگانی، علی صابری

دانشکده مهندسی مکانیک، دانشگاه صنعتی خواجه نصیرالدین طوسی، تهران، ایران.

تاریخچه داوری:

دریافت: ۱۳۹۸/۰۷/۱۸

بازنگری: ۱۳۹۸/۱۰/۱۵

پذیرش: ۱۳۹۸/۱۱/۰۶

ارائه آنلاین: ۱۳۹۸/۱۱/۱۰

کلمات کلیدی:

جریان دوفاز

ناپایداری

نوسانات موج چگالی

جوشش

دینامیک غیرخطی

خلاصه: ناپایداری جریان دوفاز در سیاری از حوزه‌های صنعتی نظیر توربوماشین، سیستم‌های تبرید، راکتور آب جوشان مشاهده می‌شود. پیش‌بینی پارامترهای جریان مانند افت فشار، محدوده پایداری و مشخصات نوسانات، عوامل تعیین کننده‌ای در طراحی و شرایط ایمنی کارکرد تجهیزات است. در این مقاله ناپایداری نوسانات موج چگالی جریان سیال دوفاز در فرایند جوششی مورد تحلیل قرار گرفته است. با معرفی متغیرهای بدون بعد، یک مدل یکپارچه برای فرایند ارائه شده است. با آنالیز عددی مدل، به وسیله کاربرد یک روش توسعه یافته مبتنی بر روش عددی " وزن دادن به مانده‌ها"، مدل جهت دست‌یابی به پاسخ سیستم برای شرایط پایا حل شده است. محدوده ناپایداری بر روی صفحه با مختصات فرکانس واکنش و نسبت فرکانس واکنش به سرعت جرمی ورودی با استفاده از تحلیل انجام شده مشخص شده است و همچنین تاثیر عدد اصطکاکی بر آن مورد بررسی قرار گرفته است. تاثیر افزایش سرعت جرمی، میزان مادون سرد بودن، تغییرات فشار و سایر پارامترهای مهم فرایند بر مشخصات نوسانات و همینطور محدوده ناپایداری بررسی شده است. نتایج نشان می‌دهد با افزایش سرعت جرمی، سیستم نسبت به رخداد نوسانات موج چگالی پایدارتر می‌گردد. کیفیت بحرانی بخار خروجی نیز با افزایش سرعت جرمی کاهش می‌یابد و دروغ تناوب نوسانات موج چگالی و دامنه آن با افزایش سرعت جرمی افزایش می‌یابد.

۱- مقدمه

است تا سطح مشترک گاز-مایع در مواجهه با اغتشاشات کوچک پایدار بماند [۵]. از ناپایداری‌های میکروسکوپی می‌توان به ناپایداری‌های کلوین-هلmholtz^۱، رایلی-تیلور^۲ و ترکیدن حباب اشاره کرد. در مقابل ناپایداری‌های ماکروسکوپی مربوط به کل جریان دوفاز هستند و روی کل دوفاز تاثیر می‌گذارند. ناپایداری‌های ترموهیدرولیک ماکروسکوپی در جریان دوفازی به دو دسته کلی استاتیک و دینامیک تقسیم می‌شوند. ناپایداری‌های استاتیکی از مشخصه افت فشار بر حسب نرخ جریان کanal حرارتی حاصل می‌گرددند و با استفاده از معادلات بقاء جریان پایا تحلیل می‌شوند. ناپایداری لدینگ (گرددش جریان^۳)، بحران جوشش^۴ و تغییر الگوی جریان از انواع ناپایداری استاتیکی هستند [۱] و [۲]. بسته به خصوصیات پمپ، چنانچه جریان در بخش شیب منفی نمودار باشد می‌تواند در حالت ناپایدار قرار بگیرد. اگر نرخ جریان جرمی در کanal کمتر از مینیمم موضعی منحنی باشد،

با هدف کاهش حجم تجهیزات و اطمینان از کنترل دما در فرایندهای انتقال حرارت با ظرفیت بالا در صنعت، از جریان دوفازی بهره زیادی برده می‌شود. در صنایع مختلفی از جمله رآکتورهای آب‌جوشان، بویلهای بخار، اوپراتورها و تجهیزات تهویه مطبوع انتقال حرارت به سیال عامل، موجب تغییر فاز می‌گردد. این تغییر فاز بر ترموهیدرولیک جریان تاثیر می‌گذارد و می‌تواند ناپایداری‌های نامطلوبی را به همراه داشته باشد. به علت نتایج مهلک این ناپایداری‌ها، مطالعات زیادی در این حوزه صورت گرفته است [۴-۱].

از آنجا که مطالعه هر کدام از ناپایداری‌های جریان دوفازی، با توجه به مکانیزم عمل آن، استراتژی ویژه‌ای را می‌طلبد، لازم است این ناپایداری‌ها به درستی دسته‌بندی شوند. اولین وجه تمایز بین انواع ناپایداری را می‌توان به اختلاف ناپایداری‌های میکروسکوپی و ماکروسکوپی نسبت داد. عبارت میکروسکوپی برای پدیده‌هایی به کار می‌رود که در مرز مشترک گاز-مایع رخ می‌دهند. تغوری ناپایداری‌های میکروسکوپی هیدرودینامیکی به دنبال تعریف شرایطی است که لازم نویسنده عهددار مکاتبات: Shahnazar@kntu.ac.ir

1 Kelvin-Helmholtz

2 Rayleigh-Taylor

3 Ledinegg

4 Flow excursion



بر تحقیقات حاکم بوده است. در کارهای تحلیلی عمدتاً تکیه بر پیدا کردن حد پایداری بوده که بیشتر تحقیقات اولیه را شامل می‌گردد. در پژوهش‌های عددی عمدتاً سعی شده تا بتوان ناپایداری‌ها به همراه دامنه و دوره نوسانات را ارزیابی نمود. با گسترش فرمولاسیون تحلیل، گروه‌های تشابهی مهمی برای تشابه سیستم‌های دوفاز ارائه گردید که این گروه‌ها عبارتند از: اعداد بی بعد مادون سرد، تغییر فاز، دریفت، چگالی، فرود و رینولدز [۹]. نقشه‌های پایداری جریان بدین طریق روی نمودار عدد مادون سرد بر حسب عدد تغییر فاز به دست آمده است. در ادامه نشان داده شده است تاثیر ظرفیت حرارتی [۱۵]، گرانش [۱۶] و مدل حل [۱۷] بر حد ناپایداری زیاد نیست. لاهی^۷ و پودووسکی^۸ روش استفاده از ابزارهای دامنه-فرکانسی مانند نمودار نایکوویست را در مطالعه چنین سیستم‌هایی بسط دادند. کلاوس^۹ و لاهی [۱۹] با استفاده از یک مدل همگن یکبعدی، تغییرات چگالی مایع در اثر افزایش دما را نیز در نظر گرفتند. آن‌ها نشان دادند که در این سیستم‌ها پاسخ آشفته تناوبی نیز رخ می‌دهد. در این مقاله استفاده از روش گره متحرک شرح داده شده است. چین-جانگ^{۱۰} و لاهی [۲۰] با تمرکز بر اینمنی راکتورها ناپایداری را بررسی کردند. آن‌ها نیز مشاهده کردند که پدیده آشوب در بویلهایی که یک بخش بدون حرارت در پایین دست دارند، رخ می‌دهد. رضوان‌الدین [۲۱] طی یک مقاله باورهایی که در مورد نوسانات موج چگالی وجود داشت را زیر سوال بردا. افت فشار سیستم در این تحقیق عمدتاً به شکل متتمرکز در منطقه‌های مختلف در نظر گرفته شده است. آمبروسینی^{۱۱} و همکاران [۲۲] تحقیقاتی انجام دادند که هم با نتایج کلاسیک و هم با نتایج رضوان‌الدین همخوانی داشت. آن‌ها بیان کردند که تفاوت دیدگاه در میزان مادون سرد بودن است. توصیفات کلاسیک براساس سیستم‌های با مادون سرد پایین است در حالی که رضوان‌الدین درجه‌های بالاتری را در نظر گرفته است. نتایج آن‌ها بیان می‌کند که با توجه به میزان مادون سرد بودن وزن مکانیزم (از چگالی مخلوط به سرعت) تغییر می‌کند و نمی‌توان تنها یک عامل را در نظر گرفت.

دلماسترو^{۱۲} و همکاران [۲۳] ناپایداری نوسانات موج چگالی

یک گردش جریان همراه با کاهش قابل ملاحظه جریان در کanal رخ می‌دهد که می‌تواند منجر به خشکیدگی^۱ لوله شود [۶ و ۷]. ناپایداری‌های دینامیکی در ارتباط با دینامیک اینرسی گذرا و تاثیرات بازخوردی سیستم می‌باشد که منجر به جریان‌های نوسانی می‌شوند. برای تحلیل این ناپایداری‌ها معادلات بقاء گذرا جریان به کار گرفته می‌شوند. مدل‌سازی رفتار سیستم در نوسانات دینامیکی، نیازمند حل عددی معادلات بقاء غیرخطی با اعمال اغتشاش می‌باشد [۸]. ناپایداری‌های دینامیکی در گستره زیادی از شرایط رخ می‌دهند و برای دامنه نوسان بزرگ، به مشکلات اینمنی و خیمی تبدیل می‌شوند. نوسانات موج چگالی^۲، نوسانات افت فشار^۳، نوسانات صوتی و نوسانات حرارتی از مهم‌ترین ناپایداری‌های دینامیک می‌باشد که از این بین دو مورد اول نقش اصلی در ناپایداری‌ها را ایفا می‌کنند [۹]. طبقه‌بندی کلاسیک ارائه شده در مرجع [۴] در بین محققین زیادی پذیرفته شده است. یادیگاروگلو^۴ [۱۰] در تقسیم‌بندی خود مکانیزم راه اندازی ناپایداری را مبنای قرار داد که تا حدی متفاوت از تقسیم‌بندی کلاسیک می‌باشد.

ناپایداری نوسانات موج چگالی به دلیل مشاهده زیاد در صنایع، بیشترین سهم مطالعات در حوزه ناپایداری را به خود اختصاص داده است. در اثر این ناپایداری، نوسانات پیوسته در نرخ جریان، دمای سیال، دمای دیواره و سایر پارامترهای عملکرد به وجود می‌آید که به ارتعاشات مکانیکی و خستگی حرارتی سازه می‌انجامد و مشکلاتی را در سیستم کنترلی ایجاد می‌کند. این ناپایداری دارای فرکانس بالا و دامنه نوسان کوچک می‌باشد. مکانیزم این ناپایداری بر تاخیر بین حرکت موج چگالی و انتشار اطلاعات قرار دارد. دوره نوسان در مرتبه زمان عبور ذره سیال از مجا (در مرتبه چند ثانیه) می‌باشد و عموماً به طور خالص در بخش شیب مثبت منحنی مشخصه در بخش دوفاز رخ می‌دهد، هرچند که در کارهای تجربی در اندرکنش با ناپایداری نوسانات افت فشار نیز گزارش شده است [۱۱-۱۳].

مقاله والیس^۵ و هسلی^۶ [۱۴] در رده اولین تحقیقات بر روی نوسانات سیستم‌های جریان دوفاز محسوب می‌شود. دو دیدگاه عموماً

1 Dry out

2 Density wave oscillations

3 Pressure drop oscillations

4 Yadigaroglu

5 Wallis

6 Heasley

7 Lahey

8 Podowski

9 Clausse

10 Chin-Jang

11 Ambrosini

12 Delmastro

موج چگالی استفاده کردند. آن‌ها با استفاده از روش باقیمانده‌های وزنی و تحلیل ناپایداری خطی بررسی‌های خود را انجام دادند و تغییر چگالی در فاز مایع را نیز درنظر گرفتند که این تغییر چگالی تاثیر زیادی در نتایج نداشته است. روش باقیمانده‌های وزنی برای تبدیل معادلات حاکم به معادلات دیفرانسیل معمولی به کار برد شده است. با استفاده از تحلیل خطی، مرز پایداری مشخص شده و سپس در نقاط نزدیک به مرز شبیه‌سازی کرده‌اند تا رفتار سیستم مشخص شود. در این مقاله سعی شده تاثیر پارامترهای مختلف بر پایداری نیز دیده شود. نشان داده شده که افت فشار موضعی در ورودی نقش پایدارکننده و در خروج موجب کاهش پایداری می‌گردد. همچنین روش حل نیز در به دست آوردن حد پایداری تاثیر دارد و روش همگن (سرعت برابر دو فاز)، نتایج محتاطانه‌تری را نتیجه می‌دهد.

پاندی^۷ و سینگ^۸ [۲۹] حد پایداری لدینگ و نوسانات موج چگالی را بررسی نموده‌اند. تحلیل آن‌ها قائل به اندرکنش بین ناپایداری لدینگ و نوسانات موج چگالی می‌باشد که در گذشته کمتر گزارش شده است. سه منطقه برای ناپایداری بیان شده است. منطقه اول که فقط شامل نوسانات موج چگالی می‌باشد و بیانگر انشعاب هاف است، منطقه دوم شامل ناپایداری لدینگ و نوسانات موج چگالی که بیانگر وجود همزمان انشعاب هاف و انشعاب زیناسی است و منطقه سوم که فقط می‌تواند ناپایداری لدینگ را شامل شود.

در سال‌های اخیر بررسی جریان در مجراهای کوچک نیز مورد توجه قرار گرفته است که اغلب نتایج با نتایج کلاسیک هم‌خوانی دارد. چن^۹ و همکاران [۳۰] جریان دوفاز نیتروژن در میکرو‌لوله را با تحلیل عددی مورد ارزیابی قرار داده‌اند. علاوه بر نوسانات موج چگالی، ناپایداری لدینگ و نوسانات افت فشار بررسی شده و نتایج با سیستم تجربی مشابه مقایسه شده‌اند. طبق بررسی آن‌ها ناپایداری نوسانات موج چگالی در بخش دوفاز شیب مثبت و ناپایداری نوسانات افت فشار در بخش دوفاز شیب منفی منحنی مشخصه سیستم رخ می‌دهد. لی^{۱۰} و همکاران [۳۱] با استفاده از نرم‌افزار سی‌اف‌ایکس^{۱۱} به بررسی سه بعدی شرایط نزدیکی مرز پایداری پرداخته‌اند. آن‌ها نتایج خود را با کارهای تجربی و تحلیل یک بعدی مقایسه کرده‌اند. مشاهده گردیده

را بر اساس روابط تاخیر استنتاجی از مدل همگن بررسی کردند. مشخصه‌های ناپایداری را از روش‌های اغتشاش هاف به دست آورده‌اند. مارسل^۱ و همکاران [۲۴] از مدل تحلیلی پارامتر فشرده بر اساس فرمولاسیون مدل همگن نوسانات موج چگالی نوع اول را بررسی نمودند. آن‌ها یک رابطه صریح برای پیش‌بینی حد پایداری ارائه کردند که با نتایج تجربی ایشان تطابق دارد.

پارویا^۲ و همکاران [۲۵] ناپایداری نوسانات موج چگالی را در طول‌های مختلف کanal (اعداد فرود متفاوت) بررسی کرده‌اند. دو روش گره ثابت و گره متحرک به کار گرفته شده است. کارایی این دو روش مورد ارزیابی قرار گرفته است و بیان شده روش گره متحرک کارایی محاسباتی بالاتری دارد و در مقایسه با روش گره ثابت و تفاضل محدود همگرایی خیلی خوبی دارد. در این مقاله تاثیر پارامترهای مختلف بر نوسانات موج چگالی بررسی شده است اما هزینه محاسباتی بسیار افزایش می‌یابد. راسپینی^۳ و همکاران [۲۶] ناپایداری نوسانات موج چگالی و لدینگ را در فرایند جوشش و چگالش بررسی کردند. مقایسه‌ای بین معیارهای پایداری قبلی شده است. مشاهده می‌شود که تنها معیار ساده شده ایشی با دقت خوبی حد پایداری نوسانات موج چگالی را مشخص می‌کند. راسپینی [۲۷] اثر اینرسی و حجم تراکم‌پذیر در بالادست و پایین‌دست بر پایداری نوسانات موج چگالی را بررسی کرد. مشخص شده است که اینرسی ورودی پایداری سیستم را بالا می‌برد. در مقابل افزایش اینرسی خروجی نه تنها موج چگالی را پایداری می‌شود بلکه نوسانات مرتبه بالاتر نوسانات موج چگالی را نیز سبب می‌شود. همچنین وجود یک حجم تراکم‌پذیر در بالادست سیستم موج چگالی را کاهش پایداری نوسانات موج چگالی و لدینگ می‌شود. در مقابل قرارگرفتن یک حجم تراکم‌پذیر در پایین‌دست سیستم، پایداری سیستم را در رابطه با نوسانات موج چگالی افزایش می‌دهد. پاپینی^۴ و همکاران [۱۱] با استفاده از مدل پارامتر فشرده سعی بر واضح نمودن مختصات این نوع ناپایداری پرداختند. آن‌ها نتایج خود را با نتایج تجربی لوله مارپیچی و کدهای نرم‌افزاری مقایسه نمودند. پاول^۵ و سینگ^۶ [۲۸] از مدل شار توده‌ای برای بررسی ناپایداری نوسانات

1 Marcel

2 Paruya

3 Ruspini

4 Papini

5 Paul

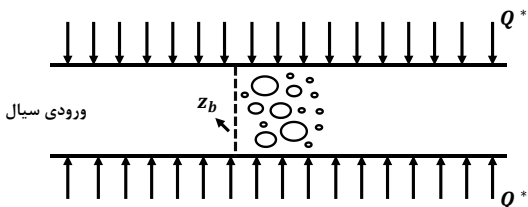
6 Singh

7 Pandey

8 Chen

9 Li

10 CFX

**Fig. 1. Schematic representation of the problem****شکل ۱. شماتیک مسئله مورد بررسی**

می‌گردد. جریان به صورت یکبعدی در نظر گرفته شده و خواص سیال با فرض فشار ثابت ($P_e = \text{const}$) تعیین شده‌اند.

برای جریان دوفاز از مدل همگن استفاده شده است. توزیع حرارت به صورت یکنواخت در نظر گرفته شده و از دینامیک حرارتی لوله صرف نظر شده‌است ($Q^* = cte$). بر اساس این فرضیات معادلات حاکم را می‌توان به شکل زیر نمایش داد:

و با انتگراسیون موازنۀ فشار در طول کanal معادله مومنتوم را

$$\frac{\partial \rho^*}{\partial t^*} + \frac{\partial G^*}{\partial z^*} = 0 \quad (1)$$

$$\frac{\partial(\rho^* h^*)}{\partial t^*} + \frac{\partial(G^* h^*)}{\partial z^*} = Q^* \quad (2)$$

می‌توان به شکل زیر نوشت:

که در آن ΔP_{tot}^* افت فشار اعمال شده به سیستم و (t)

$$\int_0^{H^*} \frac{\partial G^*(z^*, t^*)}{\partial t^*} dz^* = \Delta P_{tot}^* - \Delta P^*(t) \quad (3)$$

مجموع افت فشار دینامیک اصطکاکی و شتابی سیستم است.

با توجه به فرض $z^* = z_b$ به عنوان مرز دوفاز و تسهیل بیان کمیات در سیستم، کمیات بدون بعد بر حسب مقادیر مشخصه به صورت زیر معرفی می‌گردد:

که در آن $G^*_{l,min}$ ، کمترین سرعت جرمی ورودی است که به

$$G = \frac{G^*}{G^*_{l,min}} \quad (4)$$

$$t = \frac{t^*}{\rho_f^* L_t / G^*_{l,min}} \quad (5)$$

$$P = \frac{P^*}{G^*_{l,min} / \rho_f^*} \quad (6)$$

$$z = \frac{z^*}{L_t} \quad (7)$$

گام زمانی تاثیر به سزایی در روند حل دارد و همچنین اعلام نموده‌اند تحلیل سه بعدی به خوبی نمی‌تواند مرز پایداری را به دست آورد. اونیل^۱ و همکاران [۳۲] در یک کار متفاوت با استفاده از دوربین فوق سریع و بررسی حرکت جبهه‌های چگالی بالا^۲ و چگالی پایین^۳، ناپایداری نوسانات موج چگالی را شناسایی نموده‌اند. در این تحقیق مکانیزم ناپایداری نوسانات موج چگالی در یک اوپراتور رو به بالا با توجه به حرکت جبهه‌های چگالی بالا و پایین توصیف شده است. در این مقاله با معرفی مشخصه‌های بدون بعد مناسب؛ و به دست آوردن یک فرم جدید برای معادلات بدون بعد، امکان به دست آوردن پاسخ تحلیلی برای شرایط پایا فراهم شده است. پاسخ به دست آمده به صورت بسته و تحلیلی به منظور ارائه تغییرات افت فشار بر حسب تغییرات جرم و همچنین بحث در فرم‌های مختلف آن به کار گرفته شده است. همچنین با معرفی یک روش تلفیقی؛ معادلات بخش ناپایای به صورت غیر خطی حل شده‌اند. نحوه بدون بعد کردن کمیات امکان بررسی فرایند ناپایداری را برای گستره بزرگتری از تغییرات کمیات و همچنین بررسی تاثیر مستقیم دمای مادون سرد فراهم کرده است. محدوده پایداری و تاثیر تغییر کمیات موثر بر آن‌ها تحلیل شده است. تغییر فرم نوسانات موج چگالی، دامنه نوسان و دوره تناب آن‌ها و چگونگی تاثیر تغییرات کمیات موثر بر آن‌ها نیز مورد بحث و بررسی قرار گرفته است.

۲- تئوری و مدل‌سازی**۲-۱- معادلات حاکم**

جهت بررسی ناپایداری نوسانات موج چگالی در فرایند جوشش درون یک لوله افقی، از معادلات حاکم در سیستم یکپارچه استفاده شده است. ناحیه دوفاز جریان مطابق شکل ۱ به وسیله یک مرز فرضی، که توسط منطقه آغاز جوشش مشخص می‌شود، از ناحیه ورودی و تکفار جدا شده است. معادلات پیوستگی و انرژی برای هر یک از دو ناحیه، به صورت مجزا نوشته می‌شود، در حالی که معادله مومنتوم به صورت یکپارچه برای کل کanal حرارتی بیان می‌گردد. میزان افت فشار برای کanal حرارتی ($P_i - P_{i-1}$) ثابت در نظر گرفته شده است. سیال به صورت مادون سرد با سرعت جرمی ($G_{in}(t)$) وارد کanal

1 O'Neill

2 High Density Fronts (HDF)

3 Low Density Fronts (LDF)

مومنتوم، انتگرال‌گیری شده‌اند. با در نظر گرفتن معادله پیوستگی و استفاده از قاعده لایپنیتز^۱، می‌توان نوشت:

که در اینجا G_e نشانگر سرعت جرمی در خروجی کanal حرارتی

$$\frac{d}{dt} \int_{z_b}^1 \rho dz = G_{in} - G_e - \dot{z}_b \quad (17)$$

است و (z_b) نرخ تغییرات مرز بین دو ناحیه را بر حسب زمان نشان می‌دهد.

با استفاده از رابطه (۱۳)، انتگرال سمت چپ رابطه (۱۷) را

$$G_e(z, t) = \frac{\Omega(1-z_b) + G_{in}}{1+x_e v_{fg}}$$

می‌توان چنین نوشت:

که با فرض خطی بودن تغییرات درصد جرمی بخار بر حسب طول

$$\int_{z_b}^1 \frac{dz}{1 + \frac{z-z_b}{1-z} x_e v_{fg}} \quad (18)$$

کanal، رابطه X بر حسب x_e (درصد جرمی بخار خروجی) جایگزین شده است و در نتیجه داریم:

و در نهایت

$$\int_{z_b}^1 \rho dz = \frac{1-z_b}{x_e v_{fg}} \ln(1+x_e v_{fg}) \quad (19)$$

رابطه (۲۰) ارتباط بین نرخ تغییرات درصد جرمی بخار خروجی

$$(1-z_b) \left[\frac{v_{fg}}{x_e v_{fg}(1+x_e v_{fg})} - \frac{\ln(1+x_e v_{fg})}{x_e(x_e v_{fg})} \right] \dot{x} \quad (20)$$

$$= G_{in} - G_e + \dot{z}_b \left(\frac{\ln(1+x_e v_{fg})}{x_e v_{fg}} - 1 \right)$$

را بر حسب نقطه شروع جوشش تعیین می‌کند. مجدداً با استفاده از قاعده لایپنیتز، می‌توان معادله انرژی را در ناحیه تکفاز (مایع) به

$$\rho = \frac{\rho^*}{\rho_f^*} \quad (8)$$

$$h = \frac{h^*}{h_f^* - h_{in}^*} \quad (9)$$

ازای آن سیال در طول کanal به صورت تکفاز (مایع) باقی خواهد ماند. همچنین L^* طول کanal حرارتی و h_{in}^* به ترتیب آنتالپی مایع اشباع و آنتالپی جریان سیال ورودی است.

با استفاده از کمیات بدون بعد تعریف شده، رابطه (۱) تا (۳) به

$$G_{l,min}^* = \frac{\Omega^* L_t}{\delta h_f^*} = \frac{\Omega^* L_t}{h_f^* - h_{in}^*}$$

شكل زیر بازنویسی می‌شوند.

و همچنین دانسیته همگن ρ^* و فرکانس واکنش Ω^* به صورت

$$\frac{\partial \rho}{\partial t} + \frac{\partial G}{\partial z} = 0 \quad (10)$$

$$\frac{\partial}{\partial t}(\rho h) + \frac{\partial}{\partial z}(Gh) = 1 \quad (11)$$

$$\int_0^1 \frac{\partial G(z,t)}{\partial t} dz = \Delta P_{tot} - \Delta P(t) \quad (12)$$

بدون بعد زیر قابل نمایش خواهند بود.

با انتگراسيون رابطه (۱۵) در ناحیه دوفاز از مرز (z_b) تا هر نقطه

$$\rho_H = \frac{1}{1+x v_{fg}} \quad (13)$$

$$\Omega = \frac{v_{fg}}{h_{fg}} \quad (14)$$

$$\frac{\partial}{\partial z} \left(\frac{G}{\rho} \right) = \Omega \quad (15)$$

دلخواه Z می‌توان نوشت:

۲-۲- گسترش معادلات (دستگاه معادلات ناپایداری)

$$G_{tp}(z, t) = \frac{\Omega(z-z_b) + G_{in}}{1+x(z, t)v_{fg}} \quad (16)$$

جهت دستیابی به دستگاه معادلات دیفرانسیل معمولی غیرخطی به منظور تحلیل ناپایداری هر یک از معادلات پیوستگی، انرژی و

شكل زیر بازنویسی کرد.

و یا در نهایت

$$K_{x_e} = -\frac{(1-z_b)^2}{x_e^2 h_{fg}} - \frac{(1-z_b)}{x_e^2 h_{fg}} \log(1+x_e v_{fg}) \left(G_{in} - \frac{(1-z_b)\Omega}{x_e v_{fg}} \right) \\ + \frac{(1-z_b)}{1+x_e v_{fg}} \frac{\left(G_{in} - \frac{(1-z_b)\Omega}{x_e v_{fg}} \right)}{x_e} \quad (30)$$

$$K_{z_b} = G_m - \frac{2\Omega(1-z_b)}{x_e v_{fg}} + \log(1+x_e v_{fg}) \frac{1}{x_e v_{fg}} \left(\frac{2\Omega(1-z_b)}{x_e v_{fg}} - G_{in} \right) \quad (31)$$

با شرایط مرزی یک نقطه کارکرد پایای سیستم، دینامیک فرایند مورد بررسی را مشخص می‌کند. موضوع معادلات به شدت غیرخطی و پیچیده هستند و با توجه به وابستگی آن‌ها به تغییرات کمیات فیزیکی مسئله به شدت به درجه خطاهای محتمل روش حل حساس می‌باشند. جهت احتزار از ناپایدار شدن حل به واسطه انباشت خطای روش، در این مقاله از یک روش تلفیقی مناسب جهت خطی‌سازی و بهبود دقت حل مسئله استفاده شده است.

۳-۲- شرایط اولیه (شرایط پایای سیستم)

جهت تعیین شرایط اولیه سیستم، بایستی ارتباط بین x_e و z_b با G_0 در شرایط پایا، همچنین مقدار $\Delta P(G_0)$ به عنوان افت فشار اعمال شده به سیستم تعیین گردد. با توجه به تعریف $G_{l,min}^*$ مشخص است که

و همچنین با یک موازنۀ ساده انرژی

$$G_{st,st.} = \frac{G_{st,st.}^*}{G_{l,min}^*} = z_{b,st,st.} \quad (32)$$

با جایگذاری $G_{(st,st)}$ و $Z_{(b,st,st)}$ در رابطه‌های (۲۸) و

$$x_{e,st,st.} = \frac{1-G_{st,st.}}{G_{st,st.} h_{fg}} \quad (33)$$

(۲۹) می‌توان افت فشار شرایط پایا را در کانال به دست آورد.

۳- روش حل

$$\Delta P_{fr,st,st.} = N_{fl} G_{in}^3 + N_{fp} \Omega \left(\frac{G^3 - 2G^2 + G}{2} \right) + N_{fp} (G^2 - G^3) \quad (34)$$

$$\Delta P_{acc,st,st.} = \Omega G (1 - G) \quad (35)$$

به منظور حل دستگاه معادلات مورد نظر، از یک روش توسعه یافته بر مبنای روش وزن دادن به باقیمانده استفاده شده است.

$$\frac{d}{dt} \int_0^{z_b} (\rho h) dz = -\dot{G}_{in} + z_b + h_f \dot{z}_b \quad (21)$$

جهت گسترش معادله مومنتوم، نیاز به برآورد عبارت دینامیک

$$\dot{z}_b = 2(G_{in} - z_b) \quad (22)$$

است. فشار (اصطکاکی و شتابی) و همچنین انتگرال سمت چپ معادله است. با در نظر گرفتن افت فشار اصطکاکی به صورت مجموع افت فشار ناحیه تک‌فاز و ناحیه دوفاز می‌توان نوشت

$$(\Delta P(t))_f = N_{fl} G^2 z_b + N_{fp} \left(\int_{z_b}^1 \frac{G_{tp}^2}{\rho_H} dz \right) \quad (23)$$

و با جایگذاری G_{tp} از رابطه (۱۶) و ρ_H از رابطه (۱۳)

پس از انجام انتگرال گیری و چند عملیات مقدماتی (ضمیمه الف)

$$\frac{d}{dt} \int_{z_b}^1 G_{tp} dz = \Delta P(G_0) - N_{fl} G^2 z_b - N_{fp} \quad (24)$$

$$\left(\int_{z_b}^1 \frac{G_{tp}^2}{1+x_e v_{fg}} dz \right) - z_b \dot{G}_{in} - \dot{z}_b G_{in}$$

رابطه زیر را می‌توان نتیجه گرفت:

که در آن

$$K_G \dot{G} = \Delta P(G_0) - \Delta P(G(t), x_e(t), z_b(t)) - K_{x_e} \dot{x}_e - K_{z_b} \dot{z}_b \quad (25)$$

دستگاه معادلات شامل رابطه‌های (۲۰) و (۲۲) و (۲۵)، همراه

$$K_G = (1-z_b) \log(1+x_e v_{fg}) / x_e v_{fg} + z_b \quad (26)$$

$$\Delta P(G(t), x_e(t), z_b(t)) = \Delta P_{fr} + \Delta P_{acc} \quad (27)$$

$$\Delta P_{fr} = N_{fl} G^2 z_b + N_{fp} \Omega (1-z_b) / x_e h_{fg} \left(\frac{(1-z_b)^2}{2} \left(1 - \frac{2}{x_e v_{fg}} \right) \right. \\ \left. + \frac{2}{\Omega} \left(G_{in} - \frac{(1-z_b)\Omega}{x_e v_{fg}} \right) (1-z_b) + \frac{4}{\Omega^2} \left(G_{in} - \frac{(1-z_b)\Omega}{x_e v_{fg}} \right)^2 \log(1+x_e v_{fg}) \right) \quad (28)$$

$$\Delta P_{acc} = G_e^2 (1+x_e v_{fg}) - G_{in}^2 \quad (29)$$

$$\begin{aligned} P_{sa}(t) &= \sum_{m=0}^{N_t} \alpha_{mP_s} e^{-mt} L_m(t) \\ G_{ia}(t) &= \sum_{m=0}^{N_t} \alpha_{mG_i} e^{-mt} L_m(t) \\ G_{0a}(t) &= \sum_{m=0}^{N_t} \alpha_{mG_0} e^{-mt} L_m(t) \end{aligned} \quad (38)$$

که در آن $L_m(t)$ توابع لاگر از درجه m و نقاط منتخب به صورت ریشه‌های چبیشف در بازه $[0, N_L]$ در نظر گرفته شده‌اند. با در نظر گرفتن فرم کلی معادلات به صورت:

$$L(u) = g, \quad t \in [0, N_s] \quad (39)$$

معادلات حدسی از روش زیر حاصل شده‌اند.

$$R(u) = \int_0^{N_t} (L(u_a) - g) \delta(t - t_i) dt \rightarrow \min \quad (40)$$

با انتخاب M ضریب مجهول برای هر یک از کمیات، با توجه به وجود شرایط اولیه، از $M-1$ نقطه منتخب، معادلات نوشته می‌شوند و تعداد $3M$ ضرایب مجهول از حل دستگاه حدسی $3M \times 3M$ حاصل می‌شوند.

۴- نتایج و بحث

شکل ۲ منحنی مشخصه افت فشار بر حسب سرعت جرمی را برای سیال $R134a$ ؛ با استفاده از رابطه‌های (۳۴) و (۳۵) نشان می‌دهد.

با بررسی رابطه افت فشار در هر میزانی از G ، می‌توان دریافت

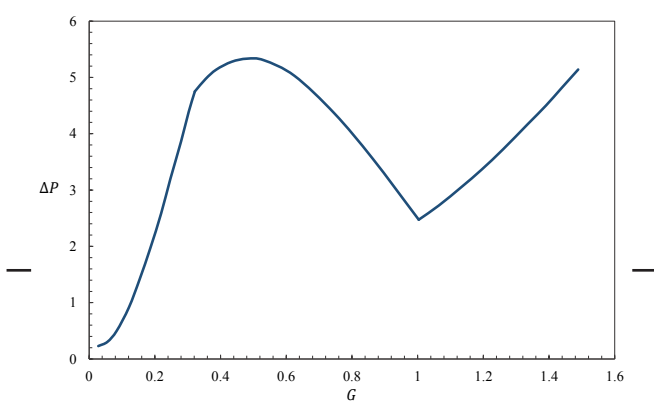


Fig. 2. Pressure drop characteristic curve in term of mass velocity

شکل ۲: منحنی مشخصه افت فشار بر حسب سرعت جرمی

3 Laguerre

با توجه به غیرخطی بودن معادلات، در گام اول معادلات بر حسب مقادیر پیش‌بینی شده اولیه خطی می‌گردند. مقادیر پیش‌بینی شده برای این منظور با استفاده از حل دستگاه به روش رانگ کوتای ضمنی اصلاح شده^۱ حاصل می‌شوند. از این روش به منظور برآورده دو هدف کنترل ناپایداری ناشی از خطأ و کاهش حجم محاسبات استفاده شده است [۳۳]. در این روش برای حل مرحله بعد دستگاه معادلات، از رابطه زیر استفاده می‌شود:

$$Y_r \text{ به صورت ضمنی بر حسب سایر مجھولات از رابطه زیر:} \quad (36)$$

$$Y_{n+1} = Y_n + h \sum_{r=1}^3 b_r F(Y_r)$$

تعیین می‌شود:

بنابراین در این روش در هر مرحله معادلات تنها بر حسب Y_{n+1} به

$$Y_r = (1 - v_r) Y_n + v_r Y_{n+1} + h \sum_{j=1}^{r-1} x_{r,j} F(Y_j), \quad r = 1, 2, 3. \quad (37)$$

صورت ضمنی تعریف شده‌اند. ضرایب رانگ کوتای ضمنی اصلاح شده عموماً به وسیله جدول راهنمای تعیین می‌شوند که در آن $c = v + Xe$ و X ماتریس 3×3 در ۳ است که درایه‌های آن به صورت $x_{i,j}$ تعریف می‌شوند. می‌توان اثبات کرد انتخاب ضرائب جدول ۱ روشی دارای پایداری مناسب می‌باشد [۳۴]. در جدول ۱، ستون اول درایه‌های بردار C ، ستون دوم از سمت چپ درایه‌های بردار V و سه ستون بعدی درایه‌های ماتریس X را نشان می‌دهند. همچنین سطر آخر درایه‌های بردار b به صورت ترانهاده هستند. این فرم نمایش کلاسیک این روش می‌باشد.

در گام بعدی، با درنظر گرفتن هر یک از کمیات P_s ، G_0 و G_s به صورت توابع زیر از متغیر زمان و استفاده از روش همپوشانی^۲، ضرایب مجهول تعیین می‌گردند.

جدول ۱: ضرائب روش رانگ کوتای ضمنی اصلاح شده

Table 1. MIRK Coefficients

X	v	c
.	1	1
.	-95/576	215/576
.	-1419/1539	241/81
81/184	384/779	1/16
		b ¹

1 MIRK
2 collocation

(رابطه‌های (۲۰) و (۲۲) و (۲۵)) همراه با شرایط مرزی پایدار تحلیل شده است. با نزدیک شدن شرایط مرزی به نقطه ناپایداری فرایند، در آغاز سرعت جرمی شروع به نوسان می‌کند، علت این پدیده سرعت انتشار متفاوت اختلالات جریان در ناحیه تک فاز و در ناحیه دو فاز است. هرگونه تغییر در جریان یا کسر حجمی در منطقه دو فاز منجر به تغییر افت فشار می‌شود. از آنجا که انتشار اختلال در طول ناحیه دو فاز به کندی صورت می‌گیرد، یک تاخیر قابل توجه در شروع اختلالات در منطقه دو فاز رخ خواهد داد، از این رو نوسانات در جریان شروع می‌شود. اگرچه این نوسانات رو به زوال می‌رود و مجدداً سیستم بعد از گذشت زمان معینی پایدار می‌گردد (شکل (۳)الف). این نوسانات با نزدیک شدن به محدوده ناپایداری تبدیل به نوسانات با سیکل محدود (شکل (۴)الف) می‌شود و نهایتاً نوسانات واگرا می‌گردد (شکل (۵)الف). این محدوده گذرا از شرایط پایا به نوسانات واگرا به ازای ثابت بودن کلیه کمیات فرایند به ازای محدوده نسبتاً کوچکی از سرعت جرمی می‌دهد که این محدوده تابعی از سایر شرایط مساله است. جهت مشاهده بهتر تغییرات در فرایند، مرز جوششی (Z_b) بر حسب سرعت جرمی ورودی (G_{in}) برای هر حالت در بخش ب شکل‌های ۳ تا ۵ ارائه شده است. شکل (۵)الف) علاوه بر نوسانات سرعت جرمی، نوسانات مرز جوشش و کیفیت بخار خروجی را نیز نشان می‌دهد. همچنین شکل ۶ مرز ناپایداری خنثی در این تحقیق را در مقایسه با نتایج راسپینی [۲۷] نشان می‌دهد. لازم به توجه است که اطلاعات ورودی شکل‌های ۳ تا ۵ در جدول ۲ آمده است.

با توجه به رابطه (۳۳) می‌توان نوشت:

$$\Omega = \frac{\Omega}{G} - x_e v_{fg} \quad (45)$$

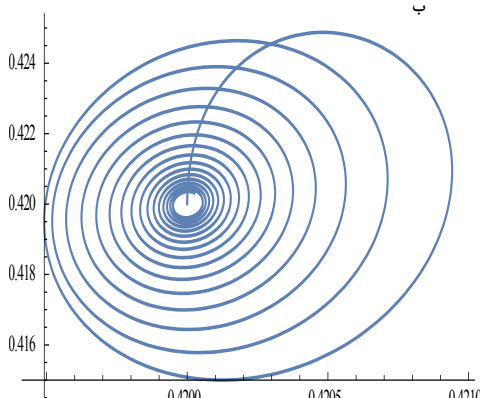


Fig. 3. Converged oscillations a) mass velocity, b) phase portrait

شکل ۳. (الف) نوسانات همگرا شده سرعت جرمی (ب) پرتره فضای فازی برای نوسان همگرا

که مقادیر اکستريم موضعی تنها زمانی رخ می‌دهند که جریان خروجی از لوله به صورت دوفاز باشد. به منظور سهولت در یافتن تحلیلی مقادیر اکستريم فرض می‌شود $N_f = N_{gl} = N_{gr}$ و لذا با مشتق‌گیری از رابطه می‌توان نوشت:

$$G^2 + \frac{4}{3} \left[\frac{1-\Omega}{\Omega} - \frac{1}{N_f} \right] G + \frac{2}{3} \left[\frac{1}{2} + \frac{1}{N_f} \right] = 0 \quad (41)$$

$$G_{1,2} = -\frac{2}{3} \left[\frac{1}{\Omega} - 1 - \frac{1}{N_f} \right] \pm \sqrt{\frac{4}{9} \left[\frac{1-\Omega}{\Omega} - \frac{1}{N_f} \right]^2 - \frac{2}{3} \left[\frac{1}{2} + \frac{1}{N_f} \right]} \quad (42)$$

که شرط زیر برقرار است:

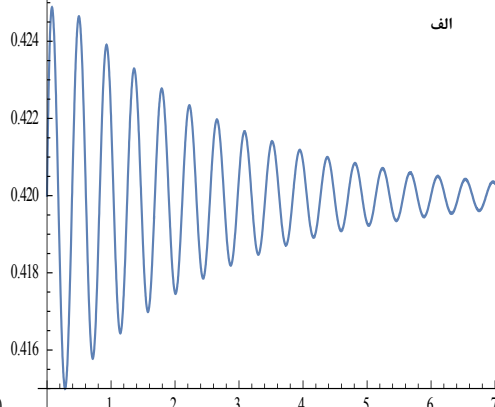
$$\left| \frac{1}{N_f} + \frac{\Omega-1}{\Omega} \right| \geq \sqrt{\frac{2}{3}} \left(\frac{1}{2} + \frac{1}{N_f} \right) \quad (43)$$

با توجه به اینکه مقادیر افت فشار اکستريم به دست آمده به ازای بازه $1 < G < 1/\delta h_g$ حاصل شده‌اند، شرط اینکه $P\Delta$ حداقلی (که به ازای پاسخ بزرگتر رابطه (۴۱) رخ می‌دهد) در منحنی مشخصه افت فشار جریان درون لوله باشد، این است که:

$$\frac{2}{3} \left(\frac{1}{N_f} + \frac{\Omega-1}{\Omega} \right) + \frac{4}{9} \left[\frac{1-\Omega}{\Omega} - \frac{1}{N_f} \right]^2 - \frac{2}{3} \left[\frac{1}{2} + \frac{1}{N_f} \right] < 1 \quad (44)$$

به عبارت دیگر در صورتیکه $\frac{1-\Omega}{\Omega} > \left(\frac{1}{3} + \frac{1}{2N_f} \right)$ باشد، همواره حداقل افت فشار در $G_{1,min}^1$ (سرعت جرمی برابر رخ خواهد داد.

به منظور تشکیل نوسانات موج چگالی، دستگاه معادلات غیرخطی



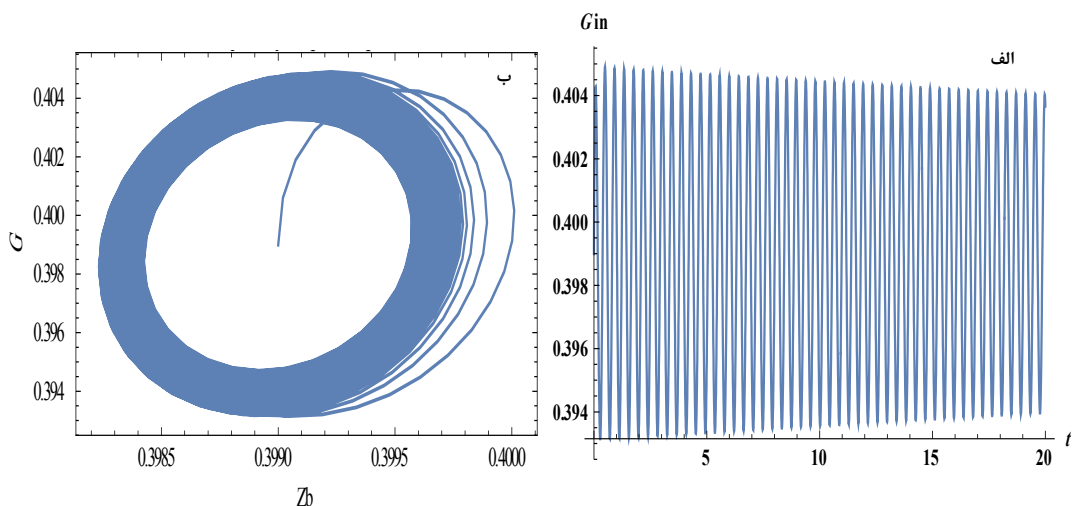


Fig. 4. Limit cycle a) mass velocity oscillations, b) phase portrait

شکل ۴: (الف) نوسانات سیکل محدود سرعت جرمی ب) پرتره فضای فازی برای نوسانات سیکل محدود

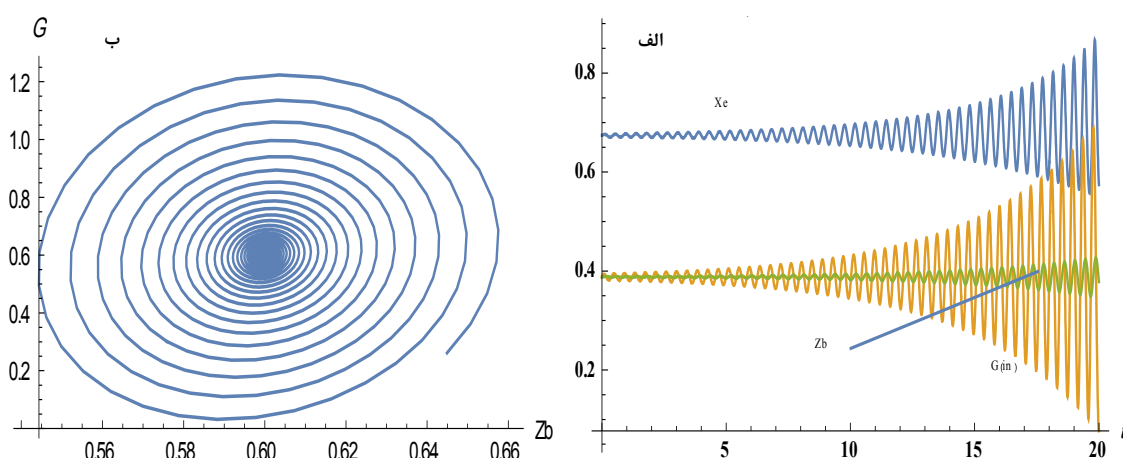


Fig. 5. Diverged oscillations a) mass velocity, exit vapor quality and boiling boundary, b) phase portrait

شکل ۵: (الف) نوسانات واگرای سرعت جرمی همراه با کیفیت خروجی مرز جوششی ب) پرتره فضای فازی برای نوسانات واگرا

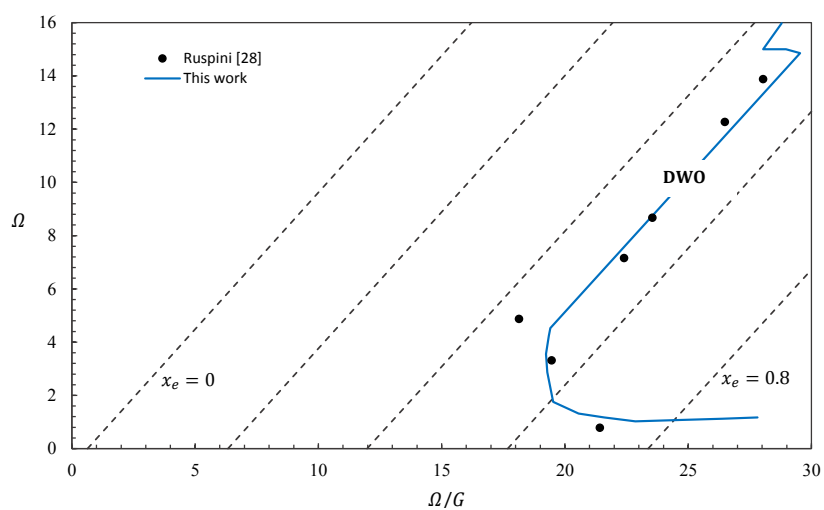


Fig. 6. Comparison of stability boundary with Ruspini [27] (Density Wave Oscillations (DWO))

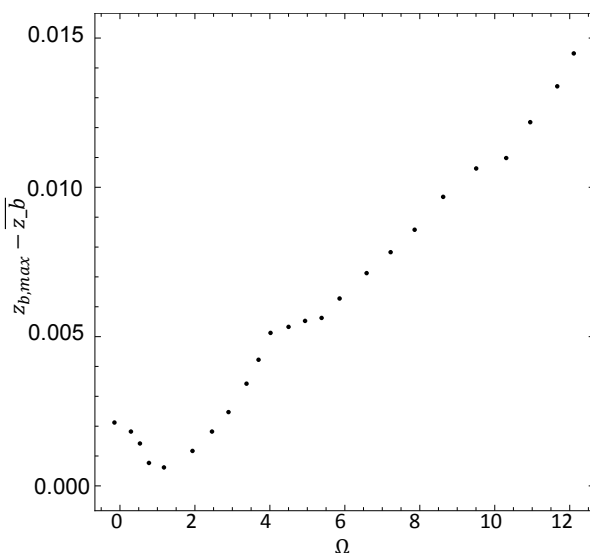
شکل ۶: مقایسه مرز ناپایداری خنثی با نتایج راسپینی [۲۷]

جدول ۲: داده های ورودی برای شکل های ۳ تا ۵
Table 2. Input data for Figs. 3 to 5

h_{in}	T_{in}	T_{sat}	v_{fg}	v_g	v_f	Q	P_e	كميت
J/kg	K	K	m³/kg	m³/kg	m³/kg	W	kPa	واحد
١٦٩٩٨٣/٤٠	٢٥٠/٤٥	٣٠٤/٤٨	٠٠٢٤٧٧	٠٠٢٤٦٢	٠٠٠٨٤٥	١٠٠	٨٠٠	مقدار
L/D	N_{fv}	N_{fip}	Nfi	hf_g	dh_v	dh_f	h_f	كميت
-	-	-	-	J/kg	J/kg	J/kg	J/kg	واحد
٢٠٠	٢/١٧٦	٢/٤٥٦٥	٣٠١٨٦	١٧١٨١٤/١٢	٢٤٥٤٧٦/١٤	٧٣٦٦٢/٠٢٢	٢٤٣٦٤٥/٤١٨	مقدار

تغییر چندانی نمی‌کند. این نکته را بر روی منحنی مقاومت داخلی کanal حرارتی (شکل ۲) اینگونه می‌توان در نظر گرفت که با افزایش P_{\max} نقطه شروع ناپایداری به نقطه با بیشترین میزان افت فشار (Δ) نزدیک می‌گردد و در نتیجه محدوده ناپایداری گسترش می‌یابد. پیچیدگی تاثیر عدد مادون سردی بر کیفیت ناپایداری را می‌توان در شکل ۷ مشاهده کرد. شکل ۷(الف) نشان می‌دهد که مطابق آنچه قابل پیش‌بینی است میانگین موقعیت شروع نقطه جوشش (Z_b) با افزایش میزان مادون سردی Ω افزایش می‌یابد، ولی دامنه نوسانات این کمیت بر حسب Ω رفتار غیر خطی نشان می‌دهد، به ویژه در نزدیکی میزان مادون سردی بحرانی که به ازای مقادیر کمتر و بیشتر از آن، رفتار متضاد دارد (شکل ۷(ب)).

شکل ۸ تاثیر ضریب اصطکاک افت فشار (N_f) را بر مز ناپایداری نشان می‌دهد. جهت تسهیل میانگین N_f تعریف شده برای ناحیه تکفاز و دوفاز بر حسب طول کلی کanal در ترسیم این منحنی مورد استفاده قرار گرفته است. مشاهده می‌شود که با افزایش N_f محدوده پایداری افزایش می‌پیدارد. به عبارت دیگر افزایش نسبت طول به قطر

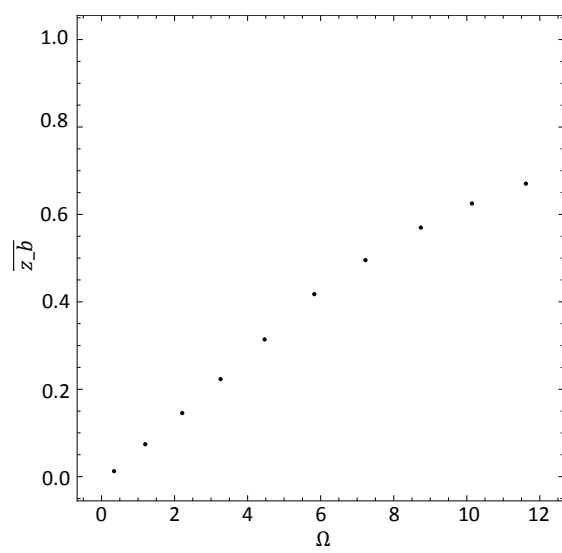


شکل ۷(ب): دامنه تغییرات محل نقطه جوشش بر حسب میزان مادون سردی

Fig. 7(b). Amplitude of boiling boundary versus subcooling extent

شکل ۶ مرز ناپایداری حاصل از این بررسی را در مقایسه با نتایج مرجع [۲۷] نشان می‌دهد؛ به خوبی تطابق نتایج بین دو بررسی مشاهده می‌شود و بیشینه اختلاف بین آن‌ها حدود ۵٪ می‌باشد. در این شکل خطوط ϵ ثابت به صورت خطوط موازی رسم شده‌اند. مرز ناپایداری نشان می‌دهد که برای بخش غالب تغییرات Ω (نقطه N_{sub}) شروع ناپایداری دارای کیفیت ثابتی است. به عبارت دیگر برای سیال ورودی با درجات مادون سرد بیشتر از یک مقدار مشخص، امکان رسیدن پایدار به جریان با درصد بخار بالا وجود ندارد. برای نمونه برای سیال $R134a$ و فشار ۸۰۰ کیلوپاسکال برای جریان ورودی با عدد مادون سرد بیشتر از ۲ فرایند برای خروجی با درصد جرمی بخار بیشتر از ۵٪ ناپایدار خواهد بود.

با کاهش Ω و نزدیک شدن آن به مقادیر نزدیک صفر، مرز ناپایداری شامل نقاطی با درصد جرمی بخار بیشتر می‌گردد. به عبارت دیگر برای جریان ورودی با دمای نزدیک به نقطه جوش، کیفیت بخار خروجی کانال در نقطه شروع ناپایداری با یک نرخ سریع بر حسب افزایش سرعت جرمی، ورودی کاهش می‌پابند و پس از آن با افزایش



شکل ۷(الف): نقطه شروع جوشش بر حسب میزان مادون سردی
Fig. 7(a). Boiling boundary versus subcooling extent

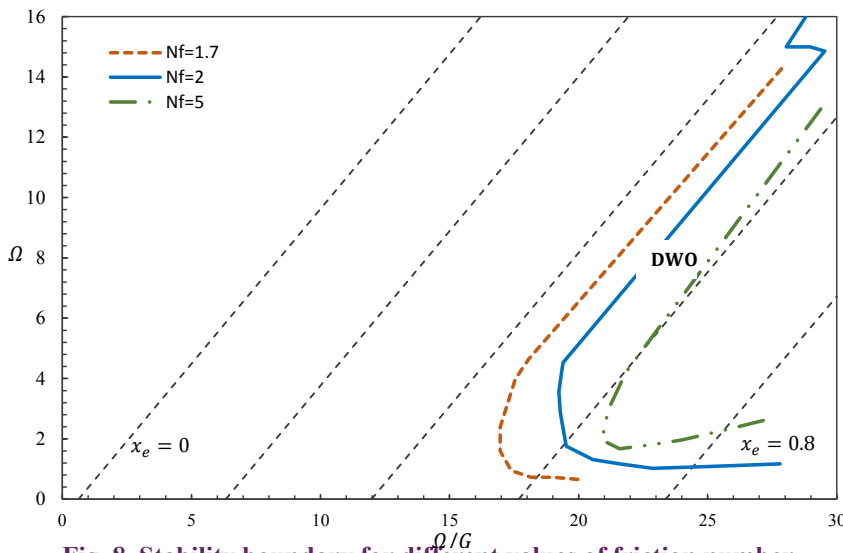


Fig. 8. Stability boundary for different values of friction number (N_f)

برای مقادیر $\Omega > 10$ ، نرخ افزایش کند می‌شود.

نتیجه‌گیری

در این تحقیق با ارائه و معرفی گروه‌های بدون بعد مقتضی، معادلات حاکم به فرم بدون بعد نوشته شده است. با انتگراسیون معادلات در حالت پایا، رابطه تحلیلی بین افت فشار و سرعت جرمی بر حسب گروه‌های بدون بعد مرتبط به دست آمده است که امکان تحلیل کلی شکل آن را ممکن می‌سازد. علاوه بر این، معادلات در حالت غیرخطی به صورت کلی حل شده‌اند. این حل امکان بررسی نوسانات را بر حسب پارامترها و کمیات ورودی مشخص می‌کند. به عبارت دیگر مدل ارائه شده امکان تحلیل خطی ناپایداری موج دانسیته را در محدوده وسیعی از تغییر پارامترها و برای سیالات مختلف فراهم می‌کند. معرفی کمیات بدون بعد مناسب امکان تاثیر تغییر کمیات و

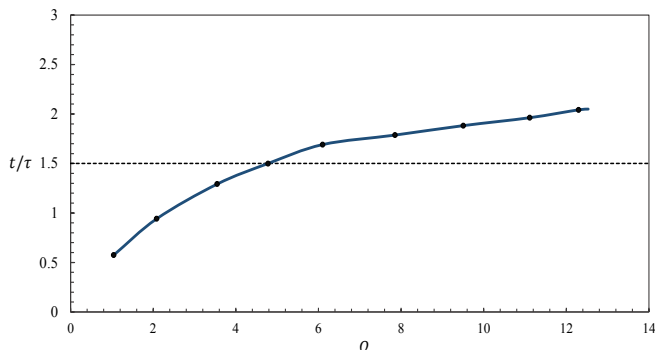


Fig. 10. Variation of period to time residence of fluid ratio versus Ω

شکل ۱۰: تغییرات نسبت زمان تناوب به زمان اقامت سیال بر حسب Ω

لوله و یا زبری سطح سبب پایدارتر شدن سیستم می‌شود. همچنین مشخصات نوسانات (دوره تناوب و دامنه) بر عنوان مشخصه‌های اصلی موج ناپایداری مورد بررسی قرار گرفته است. شکل ۹ محدوده تغییرات دامنه نوسانات را بر حسب انحراف G/Ω از میزان آن در ناپایداری خنثی نشان می‌دهد. به طور مشخص در این حالت برای میزان مادون سرد مشخص با کاهش سرعت جرمی ورودی و ناپایدار شدن سیستم دامنه نوسانات افزایش می‌یابد.

از زمان اقامت سیال در کanal حرارتی به عنوان زمان مشخصه جهت بررسی زمان متناوب نوسان استفاده شده است. شکل ۱۰ نسبت زمان تناوب به زمان اقامت سیال را بر حسب تغییرات Ω نشان می‌دهد. با افزایش Ω زمان تناوب نوسانات افزایش می‌یابد، اگرچه

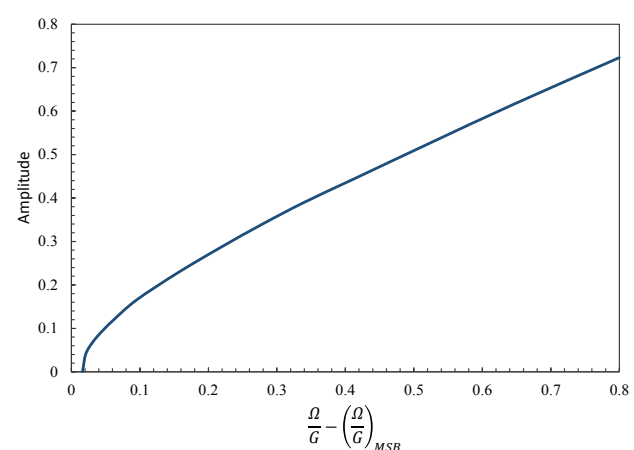


Fig. 9. Variation of oscillation amplitude in terms of Ω/G deviation from neutral instability

شکل ۹: تغییرات دامنه نوسانات بر حسب انحراف G/Ω از ناپایداری خنثی

با افزایش N محدوده پایداری افزایش می‌یابد. به عبارت دیگر افزایش نسبت طول به قطر لوله و یا زبری سطح سبب پایدارتر شدن سیستم می‌شود.

فهرست علائم

علائم انگلیسی

ضریب اصطکاک	f
سرعت جرمی	G
آنالپی	h
زمان	t
عدد بی بعد	N
عدد اصطکاک	N_f
فشار	P
حرارت	Q
حجم مخصوص	v
کیفیت بخار	x
طول کanal	z

علائم یونانی

چگالی	ρ
فرکانس واکنش	Ω

زیرنویس

شتابی	acc
نقطه جوشش	b
خروجی	e
مایع اشباع	f
اختلاف حالت بخار و مایع اشباع	fg
اصطکاکی	fr
همگن	H
مایع	l
مربوط به حالت حداقل دبی برای خروجی مایع	l,min
ورودی	In
پایا	$st.st$

پارامترهای متعدد را از طریق بررسی تاثیر تغییر گروههای بدون بعد بر محدوده و مشخصات ناپایداری مشخص می‌کند.

فشار سیستم تاثیر محسوسی بر دوره تناوب موج دانسیته ندارد؛ البته با افزایش فشار به میزان کمی دامنه موج کاهش و دوره تناوب موج افزایش می‌یابد. کیفیت بحرانی بخار خروجی با افزایش فشار افزایش می‌یابد. به عبارت دیگر جهت دسترسی به کیفیت بالاتر بخار در شرایط پایدار و احتراز از ناپایداری می‌توان فشار را افزایش داد.

تاثیر مادون سردی جریان ورودی بر ناپایداری یک تاثیر پیچیده و غیر خطی است. یک مقدار بحرانی برای میزان مادون سردی وجود دارد، برای جریان‌های ورودی گرمتر، افزایش میزان مادون سردی باعث کاهش پایداری می‌گردد؛ این در حالی است که برای جریان‌های ورودی سردرter از این جریان با میزان مادون سردی بحرانی، افزایش میزان مادون سردی باعث افزایش پایداری می‌گردد.

افزایش میزان مادون سرد بودن سیال ورودی دارای تاثیرات مشهود، غیرخطی و پیچیده بر پدیده نوسانات موج چگالی است. برای یک مقدار مشخص اختلاف دمای مادون سرد (به عنوان نمونه ۱۵ درجه سانتی‌گراد برای سیال $R134a$ و فشار 800 کیلوپاسکال)،

نحوه تاثیر عدد مادون سرد (Ω) یا همان N_{sub} به ازای مقادیر بزرگتر از آن و مقادیر کوچکتر از آن متفاوت است. برای مقادیر کوچکتر از مقدار یاد شده، پایداری سیستم با افزایش عدد مادون سرد افزایش می‌یابد. این در حالی است که برای مقادیر بزرگتر از عدد مادون سرد از میزان بحرانی، پایداری سیستم در ازای افزایش عدد مادون سرد، افزایش می‌یابد. به عبارت دیگر می‌توان یک اختلاف دمای مادون سرد را به عنوان میزان مادون سرد بحرانی معروفی کرد؛ که افزایش یا کاهش میزان مادون سرد بودن جریان ورودی نسبت به آن سبب افزایش پایداری می‌گردد.

زمان تناوب نوسانات تقریباً دو برابر زمان اقامت سیال در کanal است، اگر چه با کاهش مقدار مادون سرد کاهش می‌یابد و حتی به

ازای مقادیر کم مادون سرد به کمتر از $\frac{1}{2}$ آن میل می‌کند.

با افزایش سرعت جرمی، سیستم نسبت به رخداد نوسانات موج چگالی پایدارتر می‌گردد. کیفیت بحرانی بخار خروجی نیز با افزایش سرعت جرمی کاهش می‌یابد. از سوی دیگر دوره تناوب ناپایداری و دامنه آن با افزایش سرعت جرمی افزایش می‌یابد.

عدد اصطکاک نیز به صورت مستقل بر ناپایداری فرایند موثر است،

for industrial design and nuclear engineering,
McGraw-Hill, 1981.

- [11] D. Papini, M. Colombo, A. Cammi, M.E. Ricotti, Experimental and theoretical studies on density wave instabilities in helically coiled tubes, International Journal of Heat and Mass Transfer, 68(0) (2014) 343-356.
- [12] Q. Wang, X.J. Chen, S. Kakaç, Y. Ding, An experimental investigation of density-wave-type oscillations in a convective boiling upflow system, International Journal of Heat and Fluid Flow, 15(3) (1994) 241-246.
- [13] L.S. Tong, Y.S. Tang, Boiling heat transfer and two-phase flow, CRC press, 1997.
- [14] G.B. Wallis, J.H. Heasley, Oscillations in Two-Phase Flow Systems, Journal of Heat Transfer, 83(3) (1961) 363-369.
- [15] M.J. Atkinson, J.C. Friendly, Limitations of simple models in describing two-phase flow oscillations, Department of Chemical Engineering, University of Rochester, Rochester, New York, 1983.
- [16] S. Nakanishi, M. Kaji, S. Yamauchi, An approximation method for construction of a stability map of density-wave oscillations, Nuclear Engineering and Design, 95(0) (1986) 55-64.
- [17] R.C. Dykhuizen, R.P. Roy, S.P. Kalra, A Linear Time-Domain Two-Fluid Model Analysis of Dynamic Instability in Boiling Flow Systems, Journal of Heat Transfer, 108(1) (1986) 100-108.
- [18] R.T. Lahey Jr, M.Z. Podowski, On the analysis of various instabilities in two-phase flows, Multiphase science and technology, 4(1-4) (1989).
- [19] A. Clausse, R.T. Lahey Jr, The analysis of periodic and strange attractors during density-wave oscillations in boiling flows, Chaos, Solitons & Fractals, 1(2) (1991) 167-178.
- [20] C. Chin-Jang, R.T. Lahey Jr, Analysis of chaotic instabilities in boiling systems, Nuclear Engineering and Design, 167(3) (1997) 307-334.
- [21] Rizwan-Uddin, On density-wave oscillations in two-phase flows, Int. J. Multiphase Flow, 20(4) (1994) 721-737.
- [22] W. Ambrosini, P. Di Marco, and J.C. Ferreri.,

sub	مادون سرد
t	کanal حرارتی
tot	کلی
tp	دوفاز

بالانویس

* شرایط مرجع

مراجع

- [1] L.C. Ruspini, C.P. Marcel, A. Clausse, Two-phase flow instabilities: A review, International Journal of Heat and Mass Transfer, 71(0) (2014) 521-548.
- [2] L. Tadrist, Review on two-phase flow instabilities in narrow spaces, International Journal of Heat and Fluid Flow, 28(1) (2007) 54-62.
- [3] J.H. Lienhard, L.C. Witte, An historical review of the hydrodynamic theory of boiling, Reviews in Chemical Engineering, 3(3-4) (1985) 187-280.
- [4] J.A. Boure, A.E. Bergles, L.S. Tong, Review of two-phase flow instability, Nuclear Engineering and Design, 25(2) (1973) 165-192.
- [5] S.M. Ghiaasiaan, Two-phase flow, boiling, and condensation: in conventional and miniature systems, Cambridge University Press, 2007.
- [6] S.K. Saha, G.P. Celata, Instability in flow boiling in microchannels, Springer, 2016.
- [7] L.C. Ruspini, C.A. Dorao, M. Fernandino, Dynamic simulation of Ledinegg instability, Journal of Natural Gas Science and Engineering, 2(5) (2010) 211-216.
- [8] H. Gürgenci, T.N. Veziroglu, S. Kakaç, Simplified nonlinear descriptions of two-phase flow instabilities in vertical boiling channel, International Journal of Heat and Mass Transfer, 26(5) (1983) 671-679.
- [9] S. Kakac, B. Bon, A Review of two-phase flow dynamic instabilities in tube boiling systems, International Journal of Heat and Mass Transfer, 51(3-4) (2008) 399-433.
- [10] G. Yadigaroglu, Two-phase flow instabilities and propagation phenomena, in: J.M. Delhaye (Ed.) Thermohydraulics of two-phase systems

amplitude of density wave oscillations in vertical upflow boiling, International Journal of Heat and Mass Transfer, 125 (2018) 1240-1263.

[33] P. Muir, Optimal discrete and continuous mono-implicit Runge–Kutta schemes for BVODEs, Advances in Computational Mathematics, 10(2) (1999) 135-167.

[34] P. Muir, M. Adams, Mono-implicit Runge–Kutta–Nyström methods for boundary value ordinary differential equations, Tech. Report 03–2000, Dept. Math. and Comp. Sci., Saint Mary’s University, 2000.

ضمیمه الف

اثبات روابط معادله مومنتوم:

$$\int_0^1 \left(\frac{\partial G}{\partial t} \right) dz = \Delta P - (\Delta P)_{acc} - (\Delta P)_{fr} \quad (\text{الف ۱})$$

$\int_0^1 \left(\frac{\partial G}{\partial t} \right) dz = \int_0^{z_b} \left(\frac{\partial G}{\partial t} \right) dz + \int_{z_b}^1 \left(\frac{\partial G}{\partial t} \right) dz$
با در نظر گرفتن و استفاده از
رابطه لایبنیتز می‌توان نوشت:

$$\int_0^{z_b} \left(\frac{\partial G}{\partial t} \right) dz + G_{in} \dot{z}_b = \frac{d}{dt} \int_0^{z_b} G dz \quad (\text{الف ۲})$$

$$\int_{z_b}^1 \left(\frac{\partial G}{\partial t} \right) dz - G_{in} \dot{z}_b = \frac{d}{dt} \int_{z_b}^1 G dz \quad (\text{الف ۳})$$

و در نتیجه

$$\frac{d}{dt} (G_{in} z_b) + \frac{d}{dt} \int_{z_b}^1 G dz = \Delta P - (\Delta P)_{acc} - (\Delta P)_{fr} \quad (\text{الف ۴})$$

که در آن از این نکته که G_{in} تنها تابعی از زمان است استفاده شده است. بنابراین:

$$\frac{d}{dt} \int_{z_b}^1 G dz = \Delta P - (\Delta P)_{acc} - (\Delta P)_{fr} - G_{in} \dot{z}_b - \dot{G}_{in} z_b \quad (\text{الف ۵})$$

از آنجا که

$$G_{tp}(z, t) = \frac{\Omega(z - z_b) + G_{in}}{1 + x(z, t) v_{fg}} \quad (\text{الف ۶})$$

Linear and nonlinear analysis of density wave instability phenomena, Heat and Technology, 18(1) (2000) 27-36.

[23] D. Delmastro, L. Juanicó, A. Clausse, A delay theory for boiling flow stability analysis, International journal of multiphase flow, 27(4) (2001) 657-671.

[24] C.P. Marcel, M. Rohde, T. Van der Hagen, Experimental investigations on the ESBWR stability performance, Nuclear Technology, 164(2) (2008) 232-244.

[25] S. Paruya, S. Maiti, A. Karmakar, P. Gupta, J.P. Sarkar, Lumped parameterization of boiling channel—Bifurcations during density wave oscillations, Chemical Engineering Science, 74(0) (2012) 310-326.

[26] L.C. Ruspini, C. Dorao, M. Fernandino, Two-Phase Flow Instabilities in Boiling and Condensing Systems, Journal of Power and Energy Systems, 6(2) (2012) 302-313.

[27] L.C. Ruspini, Inertia and compressibility effects on density waves and Ledinegg phenomena in two-phase flow systems, Nuclear Engineering and Design, 250(0) (2012) 60-67.

[28] S. Paul, S. Singh, A density variant drift flux model for density wave oscillations, International Journal of Heat and Mass Transfer, 69 (2014) 151-163.

[29] V. Pandey, S. Singh, Characterization of stability limits of Ledinegg instability and density wave oscillations for two-phase flow in natural circulation loops, Chemical Engineering Science, 168 (2017) 204-224.

[30] S. Chen, X. Chen, G. Luo, K. Zhu, L. Chen, Y. Hou, Flow boiling instability of liquid nitrogen in horizontal mini channels, Applied Thermal Engineering, 144 (2018) 812-824.

[31] S. Li, V. Chattoorgoon, S. Ormiston, Numerical study of oscillatory flow instability in upward flow of supercritical water in two heated parallel channels, International Journal of Heat and Mass Transfer, 116 (2018) 16-29.

[32] L.E. O'Neill, I. Mudawar, M.M. Hasan, H.K. Nahra, R. Balasubramaniam, J.R. Mackey, Experimental investigation of frequency and

و با تعریف

همچنین برای محاسبه $(\Delta P)_{fr}$ با توجه به رابطه زیر خواهیم

داشت:

$$(\Delta P)_{fr} = N_{fl} \int_0^{z_b} G_{in}^2 + N_{fp} \int_{z_b}^1 \frac{G_{tp}^2}{\rho_H} dz \quad (12)$$

$$GZB(G_{in}, x_e, z_b) = G_{in} - \frac{(1-z_b)\Omega}{x_e v_{fg}} \quad (\text{الف ۷})$$

انتگرال سمت چپ معادله را می‌توان به شکل زیر بازنویسی کرد.

و یادآوری این نکته که G_{in} تابعی از Z نیست، می‌توان نوشت

$$(\Delta P)_{fr} = N_{fl} G_{in}^2 z_b + N_{fp} \left[\int_{z_b}^1 \frac{(G_{in} + \Omega(z - z_b))^2}{1 + \frac{z - z_b}{1 - z_b} x_e v_{fg}} dz \right] \quad (\text{الف ۸})$$

$$(\Delta P)_{fr} = N_{fl} G_{in}^2 z_b + N_{fp} \left[\int_{z_b}^1 \frac{\left((z - z_b) + \frac{1 - z_b}{x_e v_{fg}} + \frac{GZB}{\Omega} \right)^2}{(z - z_b) + \frac{1 - z_b}{x_e v_{fg}}} dz \right] \frac{\Omega^2 (1 - z_b)}{x_e v_{fg}} \quad (\text{الف ۹})$$

$$\frac{(1-z_b)\Omega}{x_e v_{fg}} \int_{z_b}^1 \frac{(z - z_b) + \frac{G_{in}\Omega}{x_e v_{fg}}}{(z - z_b) + \frac{(1-z_b)\Omega}{x_e v_{fg}}} dz \quad (\text{الف ۱۰})$$

و یا

$$\frac{(1-z_b)\Omega}{x_e v_{fg}} \int_{z_b}^1 \frac{(z - z_b) + \frac{(1-z_b)\Omega}{x_e v_{fg}} + \frac{GZB}{\Omega}}{(z - z_b) + \frac{(1-z_b)\Omega}{x_e v_{fg}}} dz \quad (\text{الف ۱۱})$$

و در نتیجه

$$(\Delta P)_{fr} = N_{fl} G_{in}^2 z_b + N_{fp} \frac{\Omega (1 - z_b)}{x_e v_{fg}} \left(\frac{(1 - z_b)^2}{2} \left(1 + \frac{2}{x_e v_{fg}} \right) \right) \quad (\text{الف ۱۲})$$

$$+ 2 \left(\frac{GZB}{\Omega} \right) (1 - z_b) + \left(\frac{GZB}{\Omega^2} \right) \ln(1 + x_e v_{fg})$$

$$\frac{d}{dt} \int_{z_b}^1 G dz = \frac{d}{dt} \left[\frac{(1-z_b)}{x_e v_{fg}} \left[(1-z_b) + \frac{GZB}{\Omega} \ln(1 + x_e v_{fg}) \right] \right] \quad (\text{الف ۱۳})$$

و یا

$$\begin{aligned} \frac{d}{dt} \int_{z_b}^1 G dz &= \dot{z} \left[\frac{-2\Omega}{x_e v_{fg}} (1 - z_b) - \frac{GZB}{x_e v_{fg}} \ln(1 + x_e v_{fg}) + \frac{(1 - z_b)\Omega}{(x_e v_{fg})^2} \ln(1 + x_e v_{fg}) \right] \\ &+ \dot{G}_{in} \left(\frac{(1 - z_b)}{x_e v_{fg}} \ln(1 + x_e v_{fg}) \right) + \dot{x}_e \left(-\frac{(1 - z_b)^2 \Omega}{x_e^2 v_{fg}} - \frac{(1 - z_b)GZB}{x_e^2 v_{fg}} \ln(1 + x_e v_{fg}) \right) \\ &+ \frac{(1 - z_b)^2 \Omega}{x_e^3 (v_{fg})^2} \ln(1 + x_e v_{fg}) + \frac{(1 - z_b)}{x_e} \frac{GZB}{1 + x_e v_{fg}} \end{aligned} \quad (\text{الف ۱۴})$$

برای ارجاع به این مقاله از عبارت زیر استفاده کنید:

M. R. Shahnazari , A. Amjadigolpayegani, A. Saberi, Analysis of Density Wave Oscillations in a Boiling Channel by a New Analytical Model, Amirkabir J. Mech Eng., 53(3) (2021) 1505-1520.
DOI: [10.22060/mej.2020.17180.6528](https://doi.org/10.22060/mej.2020.17180.6528)



